

在高能 $e^+ e^-$ 对撞机上探测 top-Higgs 的可能性 *

岳崇兴^{1;1)} 马秀艳² 柳国丽¹ 徐庆君¹

1 (河南师范大学物理与信息工程学院 河南新乡 453002)

2 (安阳师范学院物理系 河南安阳 455000)

摘要 计算了 top-Higgs h_t^0 对过程 $e^+ e^- \rightarrow t\bar{c}\nu_e\nu_e$, $e^+ e^- \rightarrow \gamma(Z)t\bar{c}$ 的贡献, 并进一步讨论了在高能线性 $e^+ e^-$ 对撞机(LC)上探测此粒子的可能性。结果表明: h_t^0 对过程 $e^+ e^- \rightarrow t\bar{c}\nu_e\nu_e$ 的贡献很大, 通过此过程可在 LC 实验中探测 top-Higgs; 另外 $e^+ e^- \rightarrow \gamma t\bar{c}$ 也是探测 h_t^0 的有效过程。

关键词 top-Higgs 产生截面 味改变耦合

质量起源是粒子物理的一个重要问题。顶夸克的质量与电弱对称性破缺(EWSB)标度在同一量级, 因此 EWSB 和顶夸克质量产生有可能是同样原因所致。就顶夸克质量的产生和 EWSB 的关系方面人们作了大量的工作, 提出了一些具体模型, 如顶色辅助的人工色(TC2)模型^[1], top see-saw 模型^[2] 及味不变的 coloron^[3] 模型等。一般此类模型预言了与第三代夸克有较大 Yukawa 耦合的标量场, 例如, TC2 理论预言 top-pion(π_t^+ , π_t^0)和中性 top-Higgs h_t^0 的存在性。这些“新”粒子与 EWSB 有直接的联系, 因此在高能对撞机上研究这些粒子的可能物理迹象将为 EWSB 和味物理提供重要信息。

在标准模型(SM)中, 没有树图级味改变中性流(FCNC), 由于 CKM 机制的压低, 即使在单圈级这些过程的产生截面也很小, 在 SM 中观察到任何味改变耦合都意味着新物理的存在, 因此, 可以用 FCNC 过程来探测新物理。TC2 理论中的基本相互作用, topcolor 相互作用, 是非普适的, 因而无 GIM 压低, 它预言的标量场引起味改变标量耦合, 表现出在低能高能下都可测的味混合现象^[4]。本文计算了 h_t^0 对 $e^+ e^- \rightarrow W^+ W^- \nu_e \nu_e \rightarrow t\bar{c}\nu_e \nu_e$ 的贡献, 并与其对 $e^+ e^- \rightarrow Z h_t^0 \rightarrow Z t\bar{c}$ 和 $e^+ e^- \rightarrow \gamma h_t^0 \rightarrow \gamma t\bar{c}$ 的贡献相比, 结果表明 h_t^0 对 $e^+ e^- \rightarrow t\bar{c}\nu_e \nu_e$ 的贡献很大, 在质心能量 $\sqrt{s} = 500$ — 1500 GeV 的高能线性 $e^+ e^-$ 对撞机(LC)上, 只要 h_t^0 的质量小于 $2 m_t$, 就可以探测到 h_t^0 ; 在 LC 实验中, h_t^0 也可通过 $e^+ e^- \rightarrow \gamma t\bar{c}$ 过程探测。

根据 TC2 理论的基本思想, 有以下关系式成立:

2001-12-17 收稿

* 国家自然科学基金(19905004), 河南省杰出青年基金(9911)和河南省教育基金资助

1) E-mail: cxue@public.xxptt.ha.cn

$$V_w^2 + F_t^2 = V_w^2, \quad (1)$$

其中 V_w 表示 TC 或其他相互作用对 EWSB 的贡献, $F_t \simeq 50\text{GeV}$ 是 TC2 理论预言的标量场 (top-pions 或 top-Higgs) 的衰变常数, $V_w = v/\sqrt{2} \simeq 174\text{GeV}$ ^[1]. 因此 W, Z 质量的大部分来自 TC 费米子凝聚, 与 SM 预言 Higgs 粒子相比 h_t^0 与 W, Z 的树图耦合被因子 F_t/V_w 压低

$$h_t^0 WW : \frac{F_t}{V_w} g m_W g_{\mu\nu}, \quad h_t^0 ZZ : \frac{F_t}{V_w} \frac{g m_Z}{\cos\theta_w} g_{\mu\nu}, \quad (2)$$

h_t^0 与第三代夸克的耦合强度为^[1,4]

$$h_t^0 t\bar{t} : \frac{m_t}{\sqrt{2}F_t} \frac{\sqrt{V_w^2 - F_t^2}}{V_w} K^u, \quad h_t^0 \bar{t}c : \frac{m_t}{\sqrt{2}F_t} \frac{\sqrt{V_w^2 - F_t^2}}{V_w} K^{tc}, \quad h_t^0 \bar{b}b : \frac{m_b^*}{\sqrt{2}F_t} \frac{\sqrt{V_w^2 - F_t^2}}{V_w} \quad (3)$$

m_b^* 是由瞬子效应产生的顶夸克质量, 取 $m_b^* = 0.8m_b$. 已知 $K^u = 1 - \epsilon$, $K^{tc} = \sqrt{(K_{UR}^{tc})^2 + (K_{UL}^{tc})^2} \simeq K_{UR}^{tc} \leq \sqrt{\epsilon - \epsilon^2}$, ϵ 是与模型相关的自由参数, $\epsilon \ll 1$. 本文假定 topcolor 相互作用产生的顶夸克质量占 m_t 的 99 %, 即 $\epsilon = 0.01$, K^{tc} 取为自由参数.

与 π_t^0 相似, h_t^0 可通过顶夸克圈与规范玻色子对 gg, $\gamma\gamma$ 或 $Z\gamma$ 相耦合, 其耦合的一般形式为^[5,6]

$$\frac{1}{1 + \delta_{B_1 B_2}} \frac{\alpha S_{\pi_t^0 B_1 B_2}}{\pi F_t} \pi_t^0 \epsilon_{\mu\nu\alpha\beta} (\partial^\mu B_1^\nu) (\partial^\alpha B_2^\beta) \quad (4)$$

当 $200\text{GeV} \leq m_{h_t} \leq 400\text{GeV}$ 时, 其各衰变道 $b\bar{b}$, $t\bar{t}$, WW , ZZ , gg , $\gamma\gamma$, $Z\gamma$ 及 $t\bar{t}$ (动力学允许范围内) 的衰变宽度为

$$\Gamma(h_t^0 \rightarrow b\bar{b}) = \frac{3}{16\pi} \frac{V_w^2 - F_t^2}{V_w^2} \frac{(m_b - 0.1\epsilon m_t)^2}{F_t^2} m_{h_t} \sqrt{1 - \frac{4m_b^2}{m_{h_t}^2}}, \quad (5)$$

$$\Gamma(h_t^0 \rightarrow t\bar{t}) = \frac{3(1 - \epsilon)^2}{16\pi} \frac{V_w^2 - F_t^2}{V_w^2} \frac{m_t^2 m_{h_t}}{F_t^2} (K_{UR}^{tc})^2 \sqrt{1 - \frac{m_t^2}{m_{h_t}^2}}, \quad (6)$$

$$\Gamma(h_t^0 \rightarrow WW) = \frac{G_F m_{h_t}^3}{8\pi\sqrt{2}} \left(1 - \frac{4m_W^2}{m_{h_t}^2} + \frac{12m_W^4}{m_{h_t}^4}\right) \frac{F_t^2}{V_w^2} \sqrt{1 - \frac{4m_W^2}{m_{h_t}^2}}, \quad (7)$$

$$\Gamma(h_t^0 \rightarrow ZZ) = \frac{G_F m_{h_t}^3}{16\pi\sqrt{2}} \left(1 - \frac{4m_Z^2}{m_{h_t}^2} + \frac{12m_Z^4}{m_{h_t}^4}\right) \frac{F_t^2}{V_w^2} \sqrt{1 - \frac{4m_Z^2}{m_{h_t}^2}}, \quad (8)$$

$$\Gamma(h_t^0 \rightarrow gg) = \frac{\alpha_s^2 (1 - \epsilon)^2}{64\pi^3} \frac{m_{h_t}^3}{F_t^2} \frac{V_w^2 - F_t^2}{V_w^2} J^2(R_{h_t}), \quad (9)$$

$$\Gamma(h_t^0 \rightarrow \gamma\gamma) = \frac{\alpha_e^2 (1 - \epsilon)^2}{18\pi^3} \frac{V_w^2 - F_t^2}{V_w^2} \frac{m_{h_t}^3}{F_t^2} J^2(R_{h_t}), \quad (10)$$

$$\Gamma(h_t^0 \rightarrow t\bar{t}) = \frac{3}{16\pi} \frac{V_w^2 - F_t^2}{V_w^2} \frac{m_t^2}{F_t^2} m_{h_t} \sqrt{1 - \frac{4m_t^2}{m_{h_t}^2}}, \quad (11)$$

其中

$$J(R_{h_t}) = \frac{1}{R_{h_t}^2} \int_0^1 \frac{dx}{x(x-1)} \ln[1 - R_{h_t}^2 x(1-x)], \quad (12)$$

这里 $R_{h_i} = m_{h_i}/m_t$.

$e^+ e^- \rightarrow t\bar{c}\nu_e\nu_e$ 过程的截面可通过计算子过程 $W_{\lambda_+}^+ W_{\lambda_-}^- \rightarrow t\bar{c}$ 给出. 本文用有效 W 近似(EWA)计算 h_i^0 对 $e^+ e^- \rightarrow t\bar{c}\nu_e\nu_e$ 的贡献, 并讨论在 LC 实验上探测 h_i^0 的可能性. h_i^0 对子过程 $W_{\lambda_+}^+ W_{\lambda_-}^- \rightarrow t\bar{c}$ 的产生截面的贡献为

$$\hat{\sigma}(W_{\lambda_+}^+ W_{\lambda_-}^- \rightarrow t\bar{c}) = \frac{N_c \alpha}{4 S_w^2} \frac{V_w^2 - F_i^2}{V_w^4} (K^e)^2 |\epsilon_{\lambda_+}^{W^+} \cdot \epsilon_{\lambda_-}^{W^-}|^2 \frac{m_w^2 m_i^2}{(\hat{s} - m_{h_i}^2)^2 + m_{h_i}^2 \Gamma^2} \cdot \frac{\beta_t^4}{\beta_w}, \quad (13)$$

其中

$$\beta_t = \sqrt{1 - \frac{m_t^2}{\hat{s}}}, \quad \beta_w = \sqrt{1 - \frac{4 m_w^2}{\hat{s}}}, \quad (14)$$

其中 Γ 是 h_i^0 衰变的总宽度, $\sqrt{\hat{s}}$ 是 WW 质心系的质心能量, 由于 CKM 压低, SM 预言的截面 $\hat{\sigma}(W_{\lambda_+}^+ W_{\lambda_-}^- \rightarrow t\bar{c})$ 是很小的, 在 $\sqrt{s} = 500-2000\text{GeV}$ 时 $\sigma_{\text{SM}}^{\text{loop}} \sim 10^{-5}-10^{-4}$, 因此在上面公式中忽略了 SM 的贡献.

由上式可得 $e^+ e^- \rightarrow t\bar{c}\nu_e\nu_e$ 的截面

$$\sigma^{\text{loop}} = \sum_{\lambda_+ \lambda_-} \int dx_+ dx_- f_{\lambda_+}(x_+) f_{\lambda_-}(x_-) \hat{\sigma}(W_{\lambda_+}^+ W_{\lambda_-}^- \rightarrow t\bar{c}), \quad (15)$$

其中 W^\pm 的旋度 λ_\pm 的取值为 1, 0, -1; $f_{\lambda_+}(x_+), f_{\lambda_-}(x_-)$ 分别为 W^+, W^- 的分布函数, 在计算中用文献[7]给出的完全分布函数, 它包含 W 玻色子的所有极化.

图 1 给出了截面 σ^{loop} 在 $\sqrt{s} = 0.5\text{TeV}$ 时随 m_{h_i} 的变化曲线, 参数 K^e 取 4 个值 (0.1, 0.08, 0.05, 0.02), 从图 1 可看出 σ^{loop} 随 K^e 的增加而增加, 且在 $m_{h_i} = 215\text{GeV}$ 时达到最大值, 当 $m_{h_i} > 2m_t$ 时, tt 道打开, $Br(h_i^0 \rightarrow t\bar{c})$ 降低, 因而 σ^{loop} 显著减小, 如果 LC 实验在 $\sqrt{s} = 500\text{GeV}$ 时的年积分亮度为 50fb^{-1} , 则在大多数参数空间 (m_{h_i}, K^e) 中, σ^{loop} 有几十个到几百个事例. 如当 $m_{h_i} = 300\text{GeV}, K^e = 0.05$ 时, 就产生 25 个此类事例.

图 2 给出了 σ^{loop} 在 $K^e = 0.05 \sqrt{s}$ 取 3 个值 ($1500\text{GeV}, 1000\text{GeV}, 500\text{GeV}$) 时随 m_{h_i} 的变化

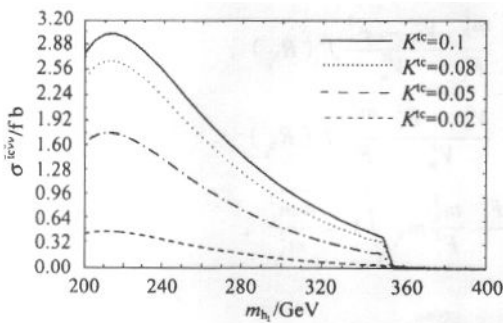


图 1 σ^{loop} 随 m_{h_i} 的变化曲线

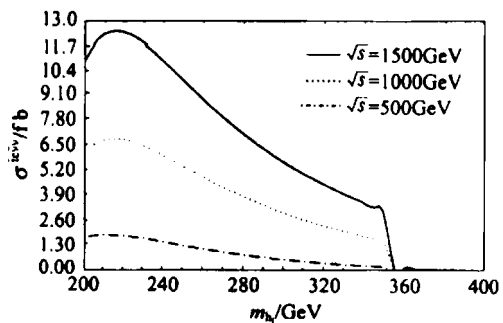


图 2 σ^{loop} 随 m_{h_i} 的变化曲线

曲线。在 $m_{h_t} = 250\text{GeV}$ 时, 当 \sqrt{s} 从 500GeV 增至 1500GeV , $\sigma^{t\bar{\nu}_e \bar{\nu}_e}$ 随之从 1.24 增至 9.97。显然, 当积分亮度 $L \geq 100\text{fb}^{-1}$ 时, h_t^0 将产生上千个 $t\bar{\nu}_e \bar{\nu}_e$ 事例。因此在 $\sqrt{s} \geq 1000\text{GeV}$ 的 LC 实验中, 很容易通过此过程探测到 h_t^0 。

top-Higgs h_t^0 对 $e^+ e^- \rightarrow t\bar{c}e^+ e^-$ 也有贡献, 这是通过子过程 $ZZ \rightarrow t\bar{c}$ 来实现的。 $\sigma^{t\bar{\nu}_e \bar{\nu}_e}$ 和 $\sigma^{t\bar{c}e^+ e^-}$ 的主要不同在于 W, Z 玻色子的配分函数不同, Z 的配分函数小于 W 的, $\sigma^{t\bar{c}e^+ e^-}$ 比 $\sigma^{t\bar{\nu}_e \bar{\nu}_e}$ 小约一个数量级^[8]。因此本文不考虑 h_t^0 对 $e^+ e^- \rightarrow t\bar{c}e^+ e^-$ 的贡献。

h_t^0 通过过程 $e^+ e^- \rightarrow h_t^0 Z$, $h_t^0 \rightarrow t\bar{c}$ 对过程 $e^+ e^- \rightarrow Zt\bar{c}$ 产生贡献, 其表达式为

$$\sigma^{Zt\bar{c}} = \frac{\pi \alpha^2}{24 \sin^4 \theta_W \cos^4 \theta_W} (1 + (1 - 4 \sin^2 \theta_W)^2) \frac{F_t^2 k (k^2 + 3m_Z^2)}{V_w^2 \sqrt{s} (s - m_Z^2)^2} \quad (16)$$

其中 s 是质心能量,

$$k = \dots \quad m_{h_t}) \quad (17)$$

为了比较 $e^+ e^- \rightarrow t\bar{\nu}_e \bar{\nu}_e$ 与 $e^+ e^- \rightarrow Zt\bar{c}$ 的截面大小, 在图 3 中给出当 $K = 0.05$ 时, 比率 $R_1 = \frac{\sigma^{t\bar{\nu}_e \bar{\nu}_e}}{\sigma^{Zt\bar{c}}}$ 随 m_{h_t} 的变化曲线。从图 3 可以看出 $\sigma^{Zt\bar{c}}$ 随 m_{h_t} 或 \sqrt{s} 的增加而降低。在 $\sqrt{s} \geq 500\text{GeV}$, R_1 在大多数参数空间中是大于 1 的。如在 $m_{h_t} = 300\text{GeV}$, $K^{tc} = 0.05$ 且 $\sqrt{s} = 500\text{GeV}$ 时, R_1 近似等于 2。因此很难通过 $e^+ e^- \rightarrow Zt\bar{c}$ 过程探测 h_t^0 。

由于 h_t^0 可以通过顶夸克圈与规范玻色子对耦合, 故亦可对 $e^+ e^- \rightarrow h_t^0 \gamma \rightarrow \gamma t\bar{c}$ 有贡献。在文献[4,5]中已经研究过 π_t^0 。为了讨论 h_t^0 能否可由 $e^+ e^- \rightarrow \gamma t\bar{c}$ 探测, 图 4 画出了在 $K^{tc} = 0.05$ 时的比率 $R_2 = \frac{\sigma^{t\bar{\nu}_e \bar{\nu}_e}}{\sigma^{\gamma t\bar{c}}}$ 随 m_{h_t} 的变化。从图 4 可以看出, $\sigma^{\gamma t\bar{c}}$ 也随 \sqrt{s} 的增加而增加, 但比 $\sigma^{t\bar{\nu}_e \bar{\nu}_e}$ 增加得慢。当 $m_{h_t} = 250\text{GeV}$, $K^{tc} = 0.05$, \sqrt{s} 从 500GeV 增至 1500GeV 时, R_2 从 1.08 增至 4.00。当 $\sqrt{s} = 500\text{GeV}$ 时, $200\text{GeV} \leq m_{h_t} \leq 350\text{GeV}$, $0.30 \leq R_2 \leq 1.05$ 。因此可在 LC 实验上用 $e^+ e^- \rightarrow \gamma t\bar{c}$ 过程探测 h_t^0 。

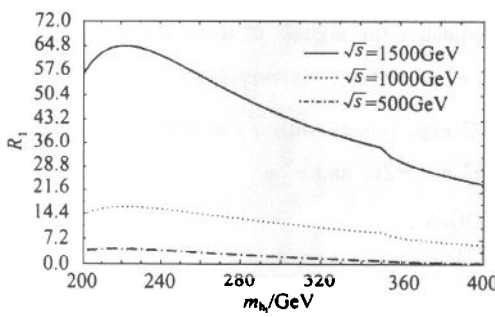


图 3 $R_1 = \sigma^{t\bar{\nu}_e \bar{\nu}_e} / \sigma^{Zt\bar{c}}$ 随 m_{h_t} 的变化曲线

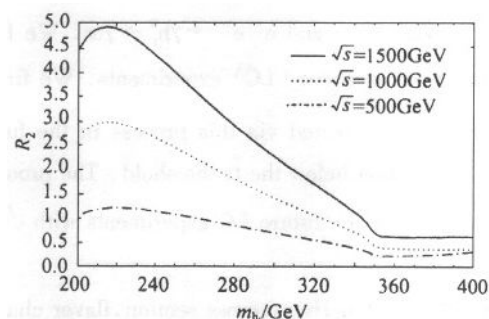


图 4 $R_2 = \sigma^{t\bar{\nu}_e \bar{\nu}_e} / \sigma^{\gamma t\bar{c}}$ 随 m_{h_t} 的变化曲线

在 TC2 理论中, 基本相互作用, topcolor 相互作用是非普适的, 因而没有 GIM 机制, h_t^0 可产生包括 $t - c$ 转化的味改变标量耦合。考虑到在 SM 中 FCNC 过程是非常小的, 可以用

FCNC 过程来探测 h_t^0 . 本文计算了 h_t^0 对 $e^+ e^- \rightarrow \bar{t}c\bar{\nu}_e\nu_e$, $e^+ e^- \rightarrow \gamma h_t^0$ 及 $e^+ e^- \rightarrow Z h_t^0$ 过程的贡献. 结果表明在 LC 实验上, $\sqrt{s} \geq 500\text{GeV}$ 时, 可以用 $e^+ e^- \rightarrow \bar{t}c\bar{\nu}_e\nu_e$ 和 $e^+ e^- \rightarrow \gamma h_t^0$ 过程探测 h_t^0 , 只是 h_t^0 对 $e^+ e^- \rightarrow \bar{t}c\bar{\nu}_e\nu_e$ 的贡献更大.

参考文献(References)

- 1 Hill C T. Phys. Lett., 1995, **B345**: 483—485; Lane K, Eichten E. Phys. Lett., 1995, **B352**: 382—387; Lane K. Phys. Lett., 1998, **B433**: 96—101
- 2 Dobrescu B, Hill C H. Phys. Rev. Lett., 1998, **81**: 2634—2636; Chivukula R S, Dobrescu B, Georgi H et al. Phys. Rev., 1999, **D59**: 075003—1—14
- 3 Popovic M B, Simmons E H. Phys. Rev., 1998, **D58**: 095007—1—14; Lane K. Phys. Lett., 1998, **B433**: 96—101; Burdman G, Evans N. Phys. Rev., 1999, **D59**: 115005—1—22
- 4 YUE Chong-Xing, LU Gong-Ru, LI Jian-Tao. High Energy Phys. and Nucl. Phys., 2001, **25**(12): 1140 (in Chinese); (岳崇兴, 鲁公儒, 李建涛. 高能物理与核物理, 2001, **25**(12): 1140).
- 5 YUE Chong-Xing, XU Qing-Jun. High Phys. and Nucl. Phys., 2002, to be published (in Chinese) (岳崇兴, 徐庆君. 中性 top-pion 的产生和衰变. 高能物理与核物理, 2002, 待发表)
- 6 YUE Chong-Xing et al. Phys. Rev., 1997, **D55**: 5541—5548; YUE Chong-Xing et al. Phys. Rev., 1998, **D57**: 4205—4218
- 7 Chanowitz M, Gaillard M K. Phys. Lett., 1984, **B142**: 85—90; Kane G, Repko W, Rolick W. Phys. Lett., 1984, **B148**: 367—372; Dawson S. Nucl. Phys., 1985, **B249**: 42—55
- 8 Bar-Shalom S, Eilam G, Soni A et al. Phys. Rev. Lett., 1997, **79**: 1217—1220; Phys. Rev., 1998, **D57**: 2957—2964

Possibility of Detecting the top-Higgs at High Energy $e^+ e^-$ Colliders*

YUE Chong-Xing^{1;1)} MA Xiu-Yan² LIU Guo-Li¹ XU Qing-Jun¹

1 (College of Physics and Information Engineering, Henan Normal University, Henan Xinxiang 453002, China)

2 (Department of Physics, Anyang Teachers College, Henan Anyang 455000, China)

Abstract In the context of topcolor-assisted technicolor(TC2) models, we calculate the contributions of the top-Higgs h_t^0 to $e^+ e^- \rightarrow \bar{t}c\bar{\nu}_e\nu_e$ and compare the results with that of h_t^0 to the processes $e^+ e^- \rightarrow Z h_t^0 \rightarrow Z \bar{t}c$ and $e^+ e^- \rightarrow \gamma h_t^0 \rightarrow \gamma \bar{t}c$. We further discuss the signals of these process at high-energy $e^+ e^-$ collider (LC) experiments. We find that $e^+ e^- \rightarrow \bar{t}c\bar{\nu}_e\nu_e$ is very sensitive to h_t^0 , which can be easily detected via this process in the future LC experiments with $\sqrt{s} = 500—1500\text{GeV}$, as long as its mass below the $t\bar{t}$ threshold. The processes $e^+ e^- \rightarrow Z h_t^0$ and $e^+ e^- \rightarrow \gamma h_t^0$ can also be used to detect h_t^0 in the future LC experiments with $\sqrt{s} = 500\text{GeV}$.

Key words top-Higgs, cross section, flavor changing couplings

Received 17 December 2001

* Supported by National Natural Science Foundation of China (19905004), Excellent Youth Foundation of Henan Scientific Committee(9911) and Foundation of Henan Educational Committee

1) E-mail: cxue@public.xxptt.ha.cn